

Le modèle de Hubbard

par

John Hubbard

Mémoire présenté au département de physique
en vue de l'obtention du grade de maître ès sciences (M.Sc.)

FACULTÉ des SCIENCES
UNIVERSITÉ de SHERBROOKE

Sherbrooke, Québec, Canada, **DATE DU DEPOT FINAL**

Le DATE DU DEPOT FINAL

le jury a accepté le mémoire de Monsieur Hubbard dans sa version finale.

Membres du jury

Professeur Dirac
Directeur de recherche
Département de physique

Professeur Plank
Membre interne
Département de physique

Professeur Pauli
Président rapporteur
Département de physique

À mon idole, GTools et SuperDavi

Sommaire

En gros mon travail est sick est esti.

Remerciements

Merci à mon homeboy GTools pour être le motherfucker le plus slick que j'ai jamais connu.

Table des matières

Sommaire	iii
Remerciements	iv
Publications	viii
Introduction	1
1 Éléments de théorie et modèle	2
1.1 Modèle de Hubbard	2
1.1.1 Hamiltonien	2
2 Méthodes de calcul	4
Conclusion	4
Bibliographie	5

Liste des tableaux

Table des figures

1.1 Représentation schématique du modèle de Hubbard à une bande.	3
--	---

Publications

Les travaux réalisés au cours de ma maîtrise ont mené aux publications suivantes :

- Plein de publications

Introduction

Titre significatif

Une introduction très introductory.

Chapitre 1

Éléments de théorie et modèle

On travaille dans les unitées telles que $e = \hbar = k_B = 1$.

1.1 Modèle de Hubbard

MISE EN CONTEXTE

1.1.1 Hamiltonien

Dans sa forme la plus générale, le hamiltonien du modèle prend la forme suivante dans le contexte de la seconde quantification :

$$H = \sum_{ij,\sigma} t_{ij} c_{i\sigma}^\dagger c_{j\sigma} + U \sum_i n_{i\uparrow} n_{i\downarrow}. \quad (1.1)$$

Les opérateurs $c_{i\sigma}^\dagger$ sont les opérateurs annihilation (création) fermioniques d'un électron sur le site i de spin σ . Ces derniers peuvent être exprimés dans la base réciproque via les transformée de Fourier :

$$c_{i\sigma}^\dagger = \frac{1}{\sqrt{N}} \sum_{\mathbf{k}} e^{-i\mathbf{k}\cdot\mathbf{r}_i} c_{\mathbf{k}\sigma}^\dagger \quad c_{i\sigma} = \frac{1}{\sqrt{N}} \sum_{\mathbf{k}} e^{i\mathbf{k}\cdot\mathbf{r}_i} c_{\mathbf{k}\sigma} \quad (1.2)$$

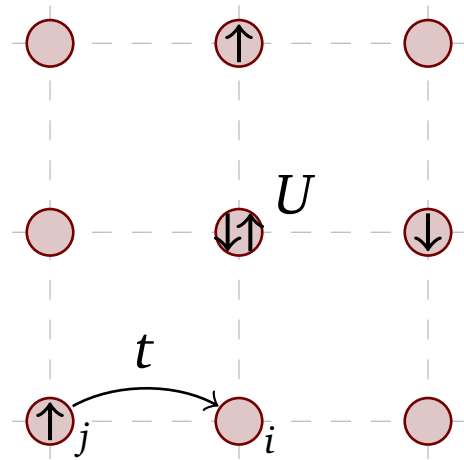


FIGURE 1.1 Représentation schématique du modèle de Hubbard à une bande. Les cercles sont les sites du réseau et les flèches sont des abstraction des électrons occupant ces même sites. Elles pointent dans la direction du spin de ces électrons. Un bond d'amplitude t entre deux site ainsi qu'un double occupation de coût U sont aussi explicitées.

Chapitre 2

Méthodes de calcul

Tu diagonalise dans le fond.

Ahh et aussi,

$$\int_a^b f(x) dx = F(b) - F(a) \quad (2.1)$$

Et pour un vecteur maintenant :

$$\mathbf{a} \cdot \mathbf{b} \quad (2.2)$$

\mathcal{RRCf}

Conclusion

Bibliographie

- [1] J. Hubbard et Brian Hilton Flowers. Electron correlations in narrow energy bands. *Proceedings of the Royal Society of London. Series A. Mathematical and Physical Sciences* **276**(1365), 238–257 (1963). [doi:10.1098/rspa.1963.0204](https://doi.org/10.1098/rspa.1963.0204).
- [2] J. Hubbard et Brian Hilton Flowers. Electron correlations in narrow energy bands. ii. the degenerate band case. *Proceedings of the Royal Society of London. Series A. Mathematical and Physical Sciences* **277**(1369), 237–259 (1964). [doi:10.1098/rspa.1964.0019](https://doi.org/10.1098/rspa.1964.0019).
- [3] J. Hubbard et Brian Hilton Flowers. Electron correlations in narrow energy bands iii. an improved solution. *Proceedings of the Royal Society of London. Series A. Mathematical and Physical Sciences* **281**(1386), 401–419 (1964). [doi:10.1098/rspa.1964.0190](https://doi.org/10.1098/rspa.1964.0190).